

TAREA N°2 DE INGENIERÍA SÍSMICA

CIV-338

EFFECTOS LOCALES Y CARACTERIZACIÓN DE LA AMENAZA SÍSMICA



UNIVERSIDAD TECNICA
FEDERICO SANTA MARIA



Integrantes:
Alexis Contreras R.
Cristóbal Adasme B.
(Grupo A)

Profesor:
Cristian Cruz D.



Contenido

1. Pregunta 1	2
1.1 Parte (1)	2
1.2 Parte (2)	4
2. Pregunta 2	7
2.1 Parte (1)	7
2.2 Parte (2)	8
2.3 Parte (3)	8
2.4 Parte (4)	8
2.5 Parte (5)	9
2.6 Parte (6)	9
3. Pregunta 3	10
3.1 Parte (a)	10
3.2 Parte (b)	13
3.3 Parte (c)	14
3.4 Parte (d)	15
3.5 Parte (e)	15

1. Pregunta 1

En esta pregunta se utilizarán las ecuaciones predictoras del movimiento sísmico (GMPE) de Youngs et al. (1997) para zonas de subducción. Las ecuaciones propuestas por Youngs et al. son las siguientes:

Para sitios en roca:

$$\ln(y) = 0.2418 + 1.414M_w + C_1 + C_2(10 - M_w)^3 + C_3 \ln(r + 1.7818e^{0.554M_w}) + 0.00607H + 0.3846Z_T$$

$$\sigma_{\ln Y} = C_4 + C_5 M_w$$

Para sitios en suelo:

$$\ln(y) = -0.6687 + 1.438M_w + C_1 + C_2(10 - M_w)^3 + C_3 \ln(r + 1.097e^{0.617M_w}) + 0.00648H + 0.3643Z_T$$

$$\sigma_{\ln Y} = C_4 + C_5 M_w$$

En la tabla 7.4 de Villaverde (2009) se puede encontrar información de cada parámetro, además de los valores para los coeficientes C_i .

1.1 Parte (1)

Se solicita graficar el PGA promedio esperado para un terremoto tipo interplaca ('interface earthquake') vs la distancia r considerando una distancia focal de 37 km (H), magnitudes de 7.0, 8.0 y 8.8 y utilizando valores de r desde 10 a 500 km, con incrementos de 1.0 km, tanto para roca como para suelo.

Dado que es un sismo interplaca se tiene que $Z_t = 0$. De la tabla 7.4 de Villaverde (2009) se obtienen los coeficientes tanto para roca como para suelo, para un periodo T_n igual a cero, los cuales se presentan de forma tabulada a continuación:

Tabla 1: Coeficientes para un $T_n = 0[s]$ para sitios en roca y suelo

Coef. $T_n = 0$ [s]	Sitios en roca	Sitios en suelo
C1	0	0
C2	0	0
C3	-2.552	-2.329
C4	1.45	1.45
C5	-0.1	-0.1

De esta forma, se obtienen los siguientes gráficos de PGA vs distancia r :

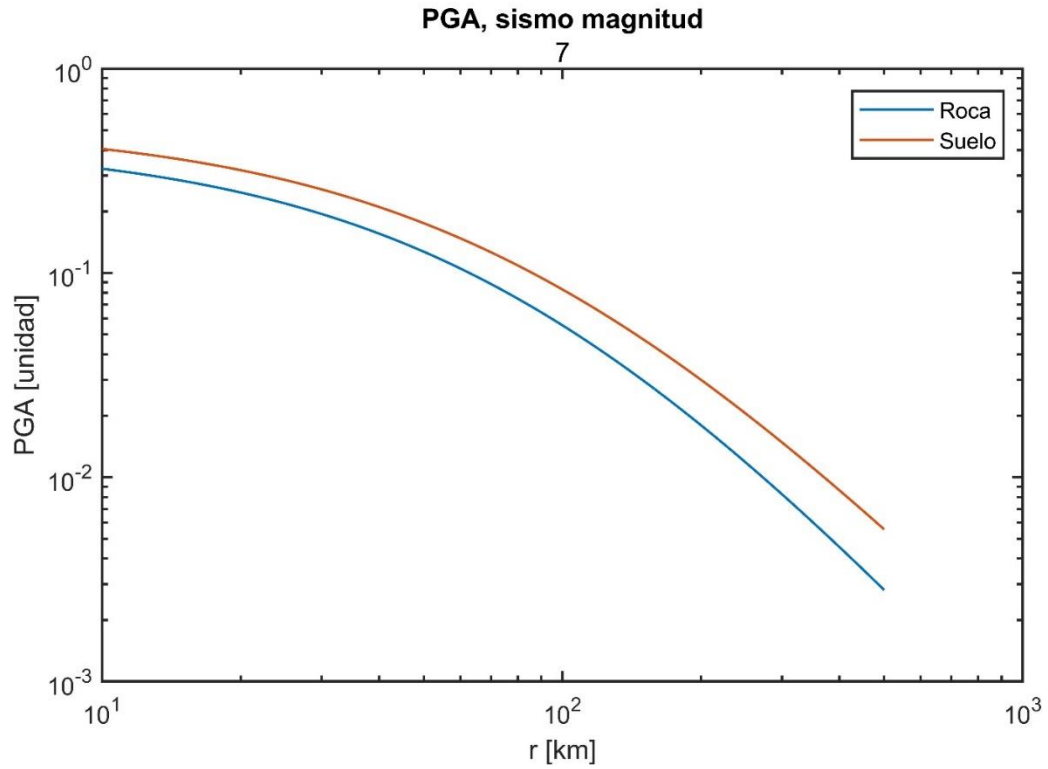


Figura 1: PGA vs distancia r , para $T_n = 0[s]$ y $M_w = 7$

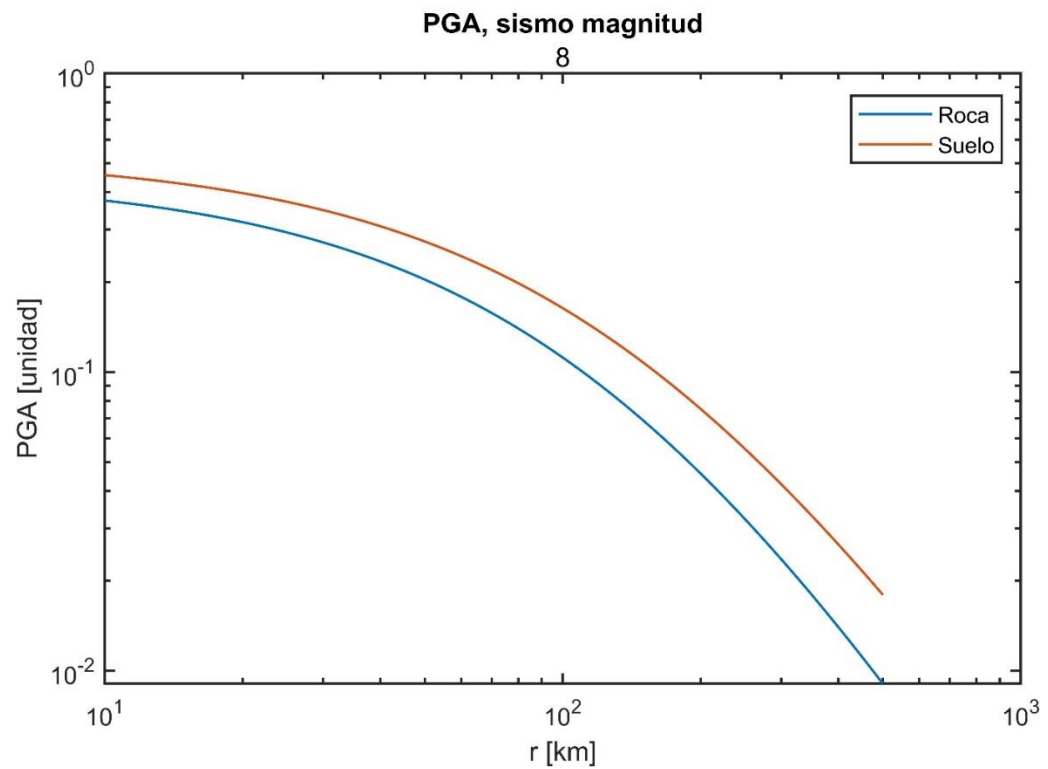


Figura 2: PGA vs distancia r , para $T_n = 0[s]$ y $M_w = 8$.

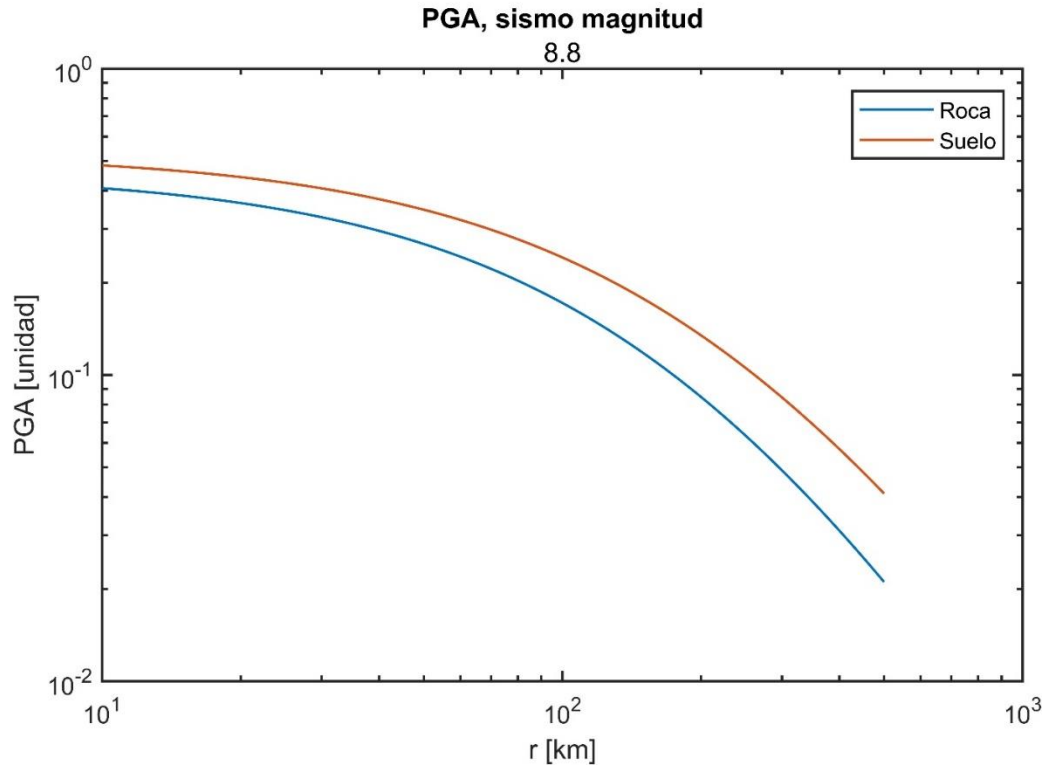


Figura 3: PGA vs distancia r , para $T_n = 0$ [s] y $M_w = 8.8$.

1.2 Parte (2)

Para este caso, se solicita lo mismo que la parte (1) pero para un periodo $T_n = 2$ [s] y un coeficiente de amortiguamiento de $\xi = 5\%$, con igual $Z_t = 0$. Nuevamente se determinan los coeficientes de la tabla 7.4 de Villaverde (2009), a continuación, se presentan de forma tabulada los coeficientes para roca y suelo:

Tabla 2: Coeficientes para un $T_n = 2$ [s] para sitios en roca y suelo.

Coef. $T_n=2$ [s]	Sitios en roca	Sitios en suelo
C1	-4.511	-7.618
C2	-0.0089	-0.0235
C3	-2.033	-1.272
C4	1.65	1.65
C5	-0.1	-0.1

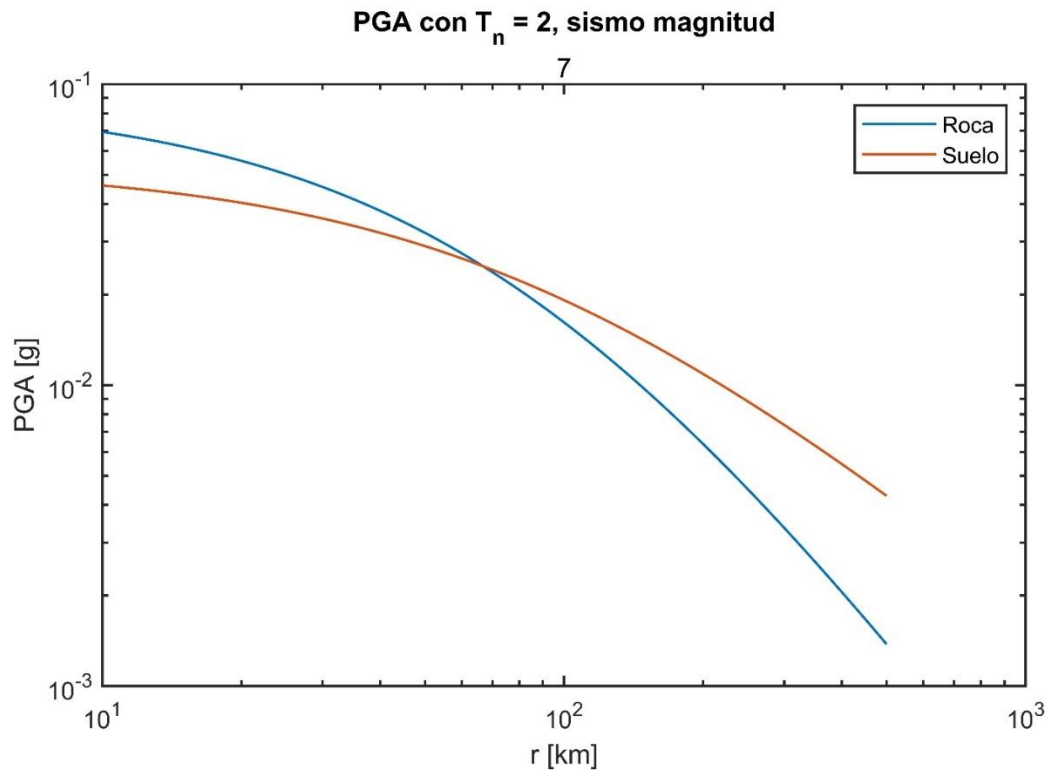


Figura 4: Aceleración espectral promedio vs distancia r , para $T_n = 2[s]$ y $M_w = 7$.

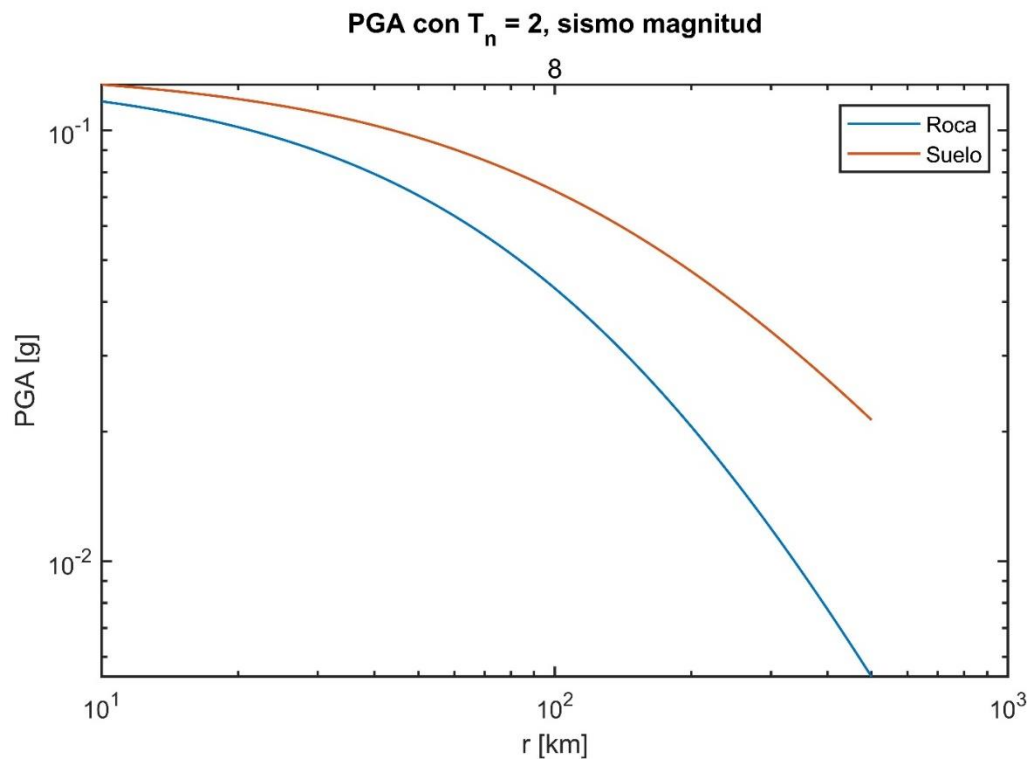


Figura 5: Aceleración espectral promedio vs distancia r , para $T_n = 2[s]$ y $M_w = 8$.

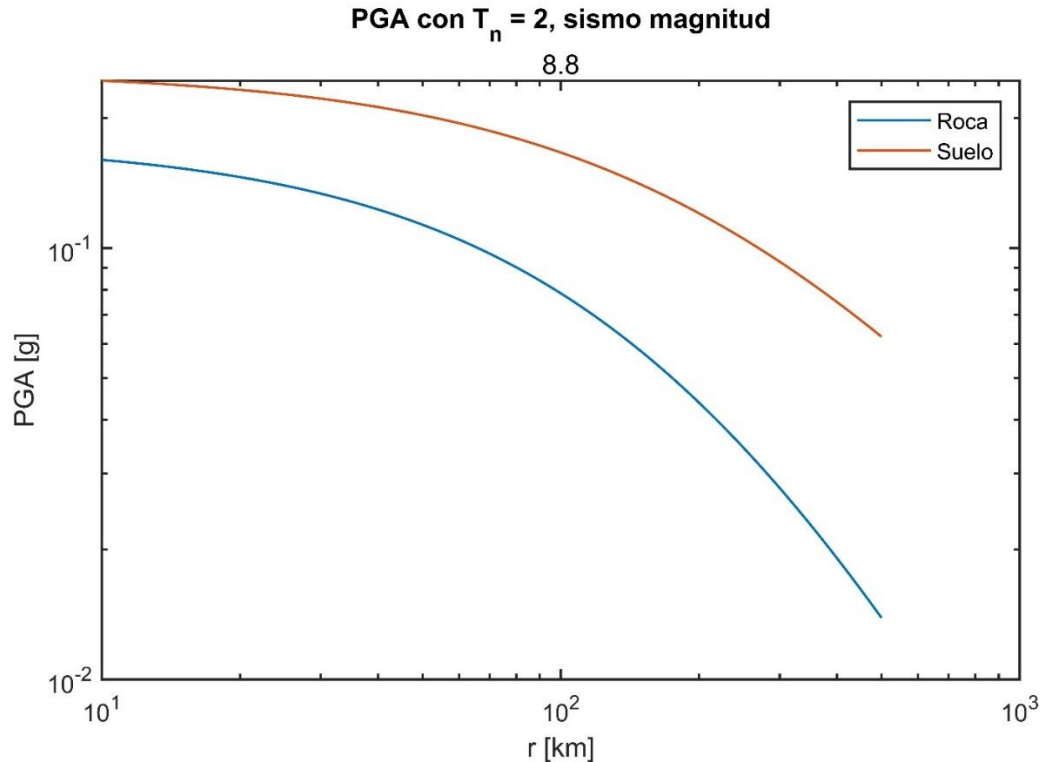


Figura 6: Aceleración espectral promedio vs distancia r , para $T_n = 2[s]$ y $M_w = 8.8$.

En la figura 4 se observa que la roca comienza con una aceleración de roca mayor para luego cruzarse con la curva del suelo, esto puede deberse a que la roca posea un periodo natural cercano al estudiado por lo que ocurre una amplificación sísmica luego se cruzan ya que la tasa de decaimiento del PGA de la roca es mayor que la del suelo, lo que se traduce en una mayor pérdida de energía al poseer desplazamientos mas pequeños.

1.3 Parte (3)

Se solicita determinar el PGA para un sismo con una distancia $r = 20 \text{ km}$, una profundidad focal de 37 km, una magnitud $M_w = 8.8$ y una probabilidad de excedencia del 5%, tanto para roca como para suelo.

Los coeficientes utilizados son los mismos que en la parte (1) de esta pregunta, obtenidos de la tabla 7.5 de Villaverde (2009). De las ecuaciones propuestas por Youngs et al. se obtiene la media ($\ln(y)$ para ambos sitios) y la desviación (σ para ambos sitios), cabe destacar que ambas corresponden a una distribución lognormal. La tabla 7.4 de Villaverde posee una nota la cual determina que la desviación estándar para magnitudes mayores a 8, es equivalente a la desviación de una magnitud igual a 8. A continuación se presentan los resultados obtenidos:

Para sitios en roca:

$$\ln(y) = -1.01$$

$$\sigma_{\ln Y} = 0.65$$

Para sitios en suelo:

$$\ln(y) = -0.89$$

$$\sigma_{\ln Y} = 0.65$$

Para la obtención del PGA para ambos sitios, se utiliza la función disponible en Matlab *logninv*, la cual utiliza como variables de entrada la probabilidad de no excedencia, μ y σ . A partir de esta función y los valores obtenidos para ambos sitios se tienen los siguientes resultados:

$$PGA_{roca} = 1.06[g]$$

$$PGA_{suelo} = 1.19[g]$$

El PGA del registro de Concepción de la tarea 1 obtenido fue de $393.21 [cm/s^2]$ lo que es equivalente a $0.4 [g]$.

2. Pregunta 2

En esta pregunta se solicita estimar los parámetros para la relación de recurrencia no acotada entra la tasa anual promedio λ_m y la magnitud m . Para aquello se requiere que se utilice el catálogo de terremotos del USGS, utilizando los terremotos que haya en el catálogo desde el 10-05-1951 hasta el 13-04-2022, para el área delimitada por las coordenadas [N: -30.297; S: -51.454; E: -69.346; W: -78.75] que tengan magnitud igual o mayor a 4.0 y menores a 10.

2.1 Parte (1)

Se solicita para cada terremoto del catálogo, calcular el número de terremotos N_m que exceden o iguala su magnitud m , para todo el rango de magnitudes de los datos.

Para la realización, se trabajó con los datos en Excel, utilizando la herramienta *contar.si()* para contar la cantidad de terremotos de grado m (aquellos que existían) en la zona delimitada, obteniéndose los siguientes resultados:

Tabla 3: número de terremotos N_m que exceden o igualan su magnitud m

m	$N_m > m$	m	$N_m > m$	m	$N_m > m$	m	$N_m > m$
4	10347	5	1347	6	175	7	15
4.1	9006	5.1	1095	6.1	146	7.1	11
4.2	7778	5.2	867	6.2	122	7.2	9
4.3	6543	5.3	669	6.3	95	7.4	7
4.4	5359	5.4	549	6.4	74	7.7	4
4.5	4363	5.5	446	6.5	63	7.8	3
4.6	3471	5.6	365	6.6	53	8	2
4.7	2741	5.7	299	6.7	45	8.3	1
4.8	2170	5.8	237	6.8	28		
4.9	1708	5.9	203	6.9	20		

2.2 Parte (2)

Se solicita realizar una regresión lineal entre $\log(N_m)$ y m , considerando solo los puntos dados por los terremotos del catálogo. La regresión lineal se realizó mediante una línea de tendencia de los datos en Excel, la cual se muestra a continuación:

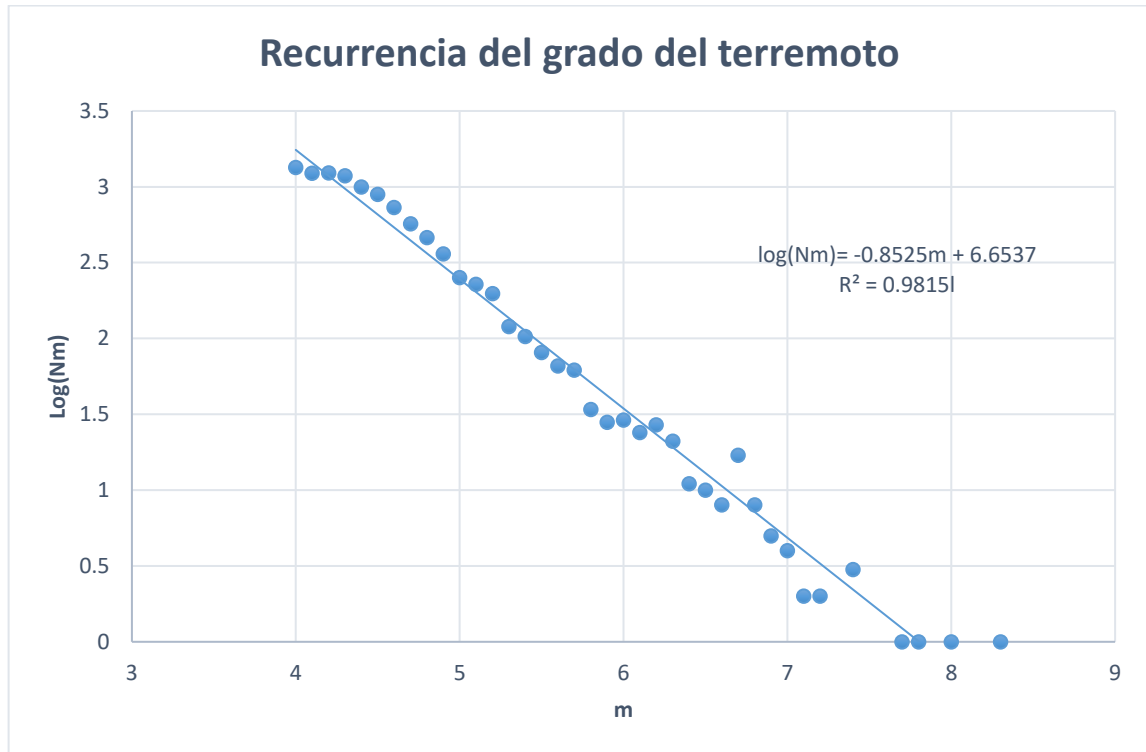


Figura 7: Regresión lineal entre $\log(N_m)$ y m .

Obteniéndose la siguiente ecuación:

$$\log(N_m) = -0.8525m + 6.6537$$

2.3 Parte (3)

Se solicita calcular el periodo de tiempo Δt que cubren los datos. Para esto se realizó el siguiente calculo:

$$\Delta t = \frac{\text{ultima. fecha} - \text{primera. fecha}}{365} = \frac{12/04/2022 - 10/05/1951}{365} = 70.97$$

2.4 Parte (4)

Se solicita calcular la tasa anual de recurrencia y su ecuación no acotada a partir de la regresión del punto 2 como $\lambda_m = \overline{N_m} / \Delta t$, donde $\overline{N_m}$ es el estimador de N_m dado por la regresión lineal. Dada la ecuación obtenida de la regresión lineal y el periodo de tiempo Δt la tasa anual de recurrencia quedada dada por:

$$\lambda_m = \frac{10^{-0.8525m+6.6537}}{70.97}$$

2.5 Parte (5)

Se solicita graficar $\log(\lambda_m)$ vs m para los datos del punto 1 y los resultados de la ecuación no acotada de la parte (4). A continuación, se presenta el gráfico obtenido:

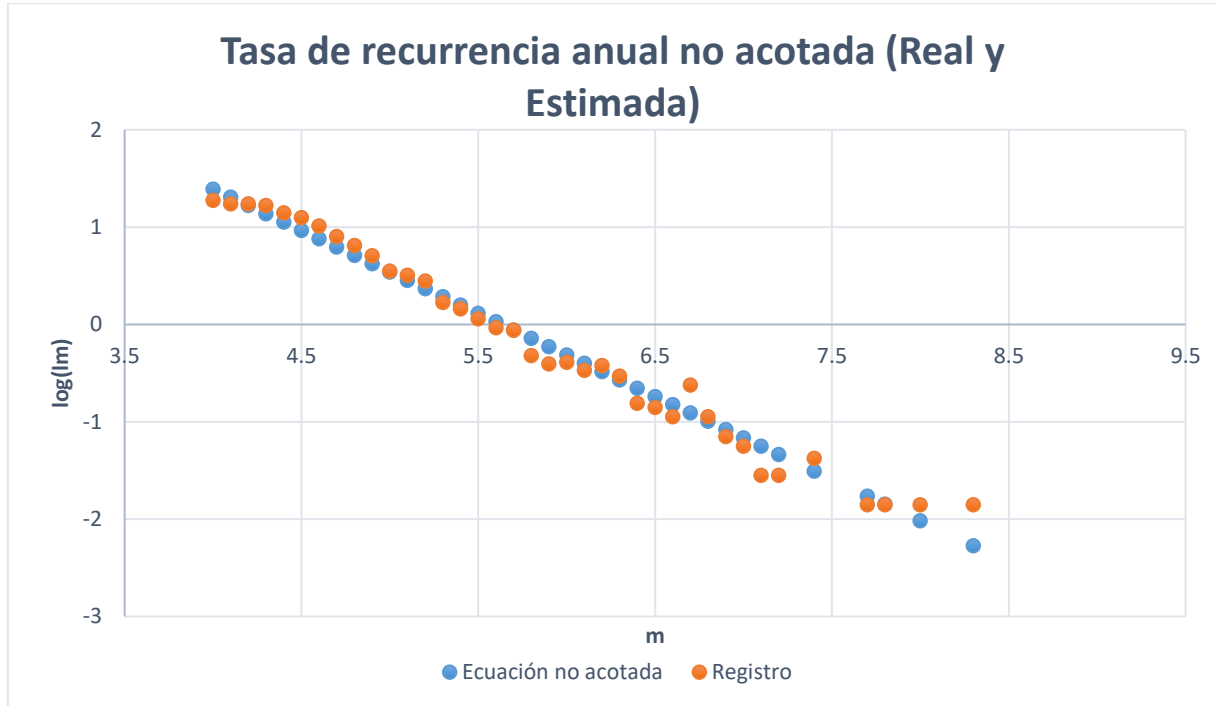


Figura 8: Tasa de recurrencia anual no acotada (Real y Estimada). Gráfico $\log(\lambda_m)$ vs m (registro) y ecuación no acotada de la parte (4).

2.6 Parte (6)

Al observar el gráfico de tasa de recurrencia anual no acotada (real-registro- y estimada-ecuación no acotada-) se puede notar que para valores cercanos a los iniciales de la regresión (grado 4) la tasa de recurrencia anual es mayor que la real, mientras que, para valores lejanos a los iniciales de la regresión, la tasa de recurrencia anual tiende a ser mayor que la estimada. Además, se puede notar que a partir de una magnitud $M_w = 6.5$ en adelante se empieza a tener una menor cantidad de registros, por lo que se puede concluir que la muestra no es del todo representativa para mayores magnitudes, esto dado que se posee menos información en el registro al ir aumentando la magnitud. De la misma manera se puede deducir que la tasa de recurrencia anual disminuye con el aumento de magnitud.

3. Pregunta 3

3.1 Parte (a)

Se solicita determinar la función de densidad de probabilidad (Probability Density Function PDF) de la distribución de probabilidad de la distancia a la fuente r de una fuente con geometría lineal, esta se dividirá en subcasos dependiendo del largo de la ruptura (ℓ).

- i. Subcaso 1: $\ell \leq L_1 \leq L_2$
- ii. Subcaso 2: $L_1 \leq \ell \leq L_2$
- iii. Subcaso 3: $L_1 \leq L_2 \leq \ell$

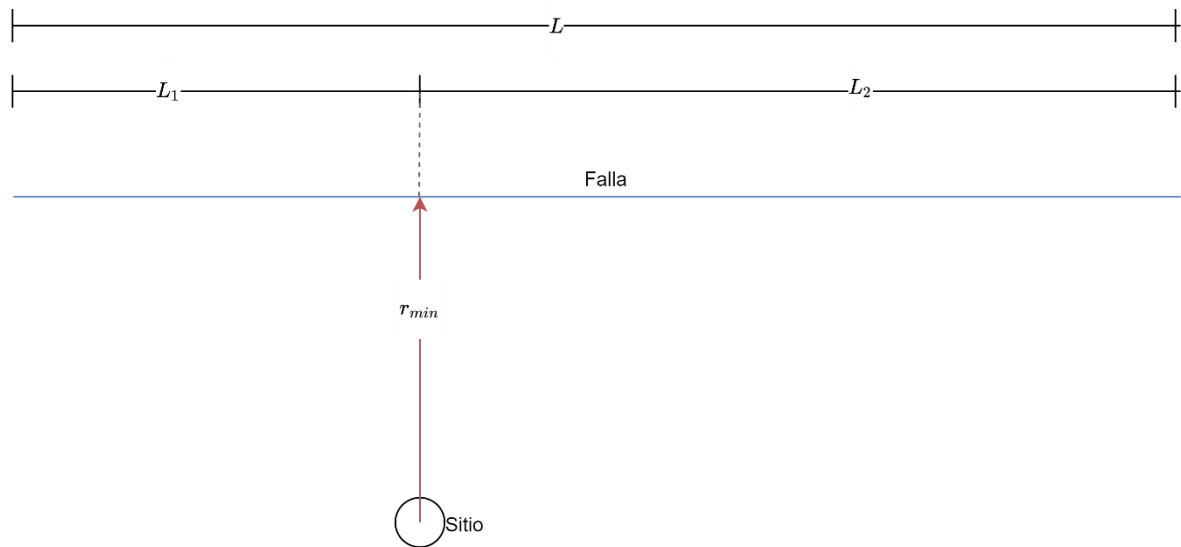


Figura 9: "Representación de una falla lineal"

Desde *Geotechnical Earthquake Engineering – Kramer 1996* se obtienen las siguientes ecuaciones (4.2), (4.3), (4.4) se obtienen las expresiones:

$$f_{\ell} \ell d\ell = f_{\mathbb{R}} r dr \quad (\text{Se asume}) \quad (4.2)$$

$$\Rightarrow f_{\mathbb{R}} r = \left| \frac{dx}{dr} \right| f_{\ell} \ell \quad (4.3)$$

$$f_{\mathbb{R}} r = \frac{r}{L_f \sqrt{r^2 - r_{min}^2}} \quad (4.4)$$

Y Teniendo en cuenta que

$$f_{\mathbb{X}} x := f_{\ell} \ell \quad (1)$$

$$f_{\mathbb{X}} x = \frac{1}{L - \ell} \quad (2)$$

$$F_{\mathbb{X}} x = \int_0^x f_{\mathbb{X}} x dx = \int_0^x \frac{1}{L - \ell} dx = \frac{x}{L - \ell} \quad (3)$$

Para Subcaso 1: $\ell \leq L_1 \leq L_2$

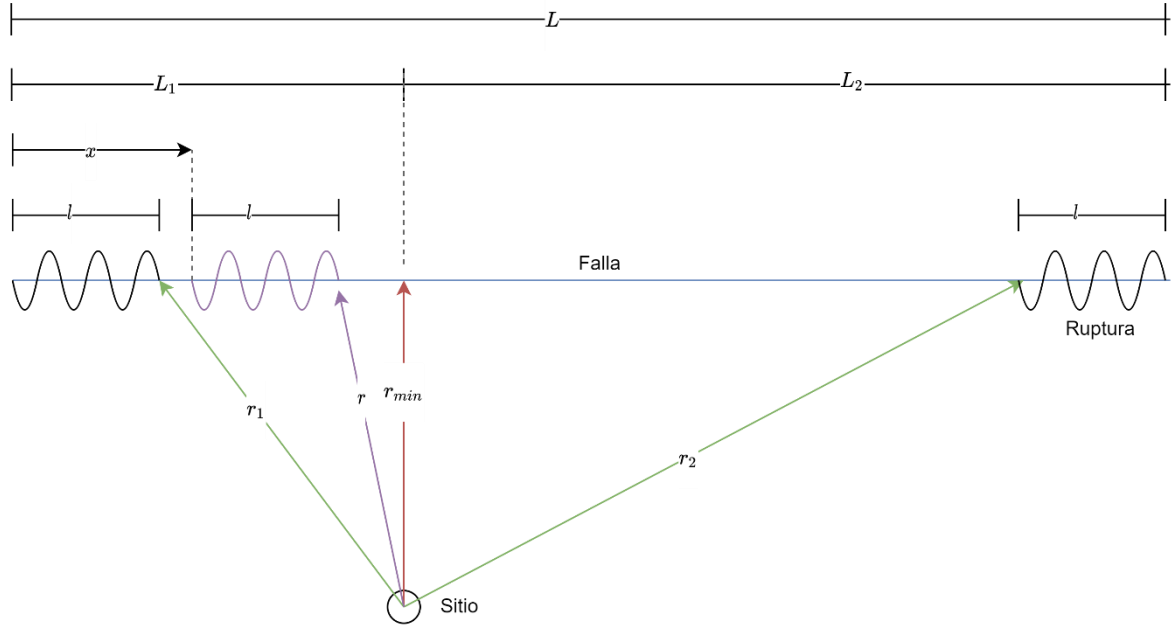


Figura 10: "Representación de la fuente sismogénica lineal (Falla), con rupturas de longitud menor a L_1 "

Subcaso 1.1:

$$\begin{aligned}
 0 &\leq x \leq L_1 - \ell \\
 \Rightarrow r_{min} &\leq r \leq r_1 \\
 r^2 &= r_{min}^2 + (L_1 - \ell - x)^2 \Rightarrow x = L_1 - \ell - \sqrt{r^2 - r_{min}^2} \\
 f_{\mathbb{R}} r &= \left| \frac{dx}{dr} \right| f_{\mathbb{X}} x = \left| -\frac{2r}{2\sqrt{r^2 - r_{min}^2}} \right| \frac{1}{L - \ell} = \frac{r}{L - \ell \sqrt{r^2 - r_{min}^2}}
 \end{aligned}$$

Subcaso 1.2:

$$\begin{aligned}
 L_1 - \ell &\leq x \leq L_1 \\
 \Rightarrow r &= r_{min} \\
 f_{\mathbb{R}} r &= \int_{L_1 - \ell}^{L_1} f_{\mathbb{X}} x dx = \frac{\ell}{L - \ell}
 \end{aligned}$$

Subcaso 1.3:

$$\begin{aligned}
 L_1 &\leq x \leq 2L_1 - \ell \\
 \Rightarrow r_{min} &\leq r \leq r_1 \\
 r^2 &= r_{min}^2 + (x - L_1)^2 \Rightarrow x = L_1 + \sqrt{r^2 - r_{min}^2} \\
 f_{\mathbb{R}} r &= \left| \frac{dx}{dr} \right| f_{\mathbb{X}} x = \left| \frac{2r}{2\sqrt{r^2 - r_{min}^2}} \right| \frac{1}{L - \ell} = \frac{r}{L - \ell \sqrt{r^2 - r_{min}^2}}
 \end{aligned}$$

Subcaso 1.4:

$$\begin{aligned}
 2L_1 - \ell &\leq x \leq L - \ell \\
 \Rightarrow r_1 &\leq r \leq r_2 \\
 r^2 &= r_{min}^2 + (x - L_1)^2 \Rightarrow x = L_1 + \sqrt{r^2 - r_{min}^2} \\
 f_{\mathbb{R}} r &= \left| \frac{dx}{dr} \right| f_{\mathbb{X}} x = \left| \frac{2r}{2\sqrt{r^2 - r_{min}^2}} \right| \frac{1}{L - \ell} = \frac{r}{L - \ell \sqrt{r^2 - r_{min}^2}}
 \end{aligned}$$

Juntando todos los subcasos 1:

$$f_{\mathbb{R}} r = \begin{cases} \frac{\frac{\ell}{L-\ell}}{r} & r = r_{min} \quad \mathbf{1.2} \\ \frac{L-\ell}{\sqrt{r^2 - r_{min}^2}} & r_{min} \leq r \leq r_1 \quad \mathbf{1.1 \text{ y } 1.3} \\ \frac{r}{L-\ell \sqrt{r^2 - r_{min}^2}} & r_1 \leq r \leq r_2 \quad \mathbf{1.4} \end{cases}$$

Subcaso 2: $L_1 < \ell < L_2$

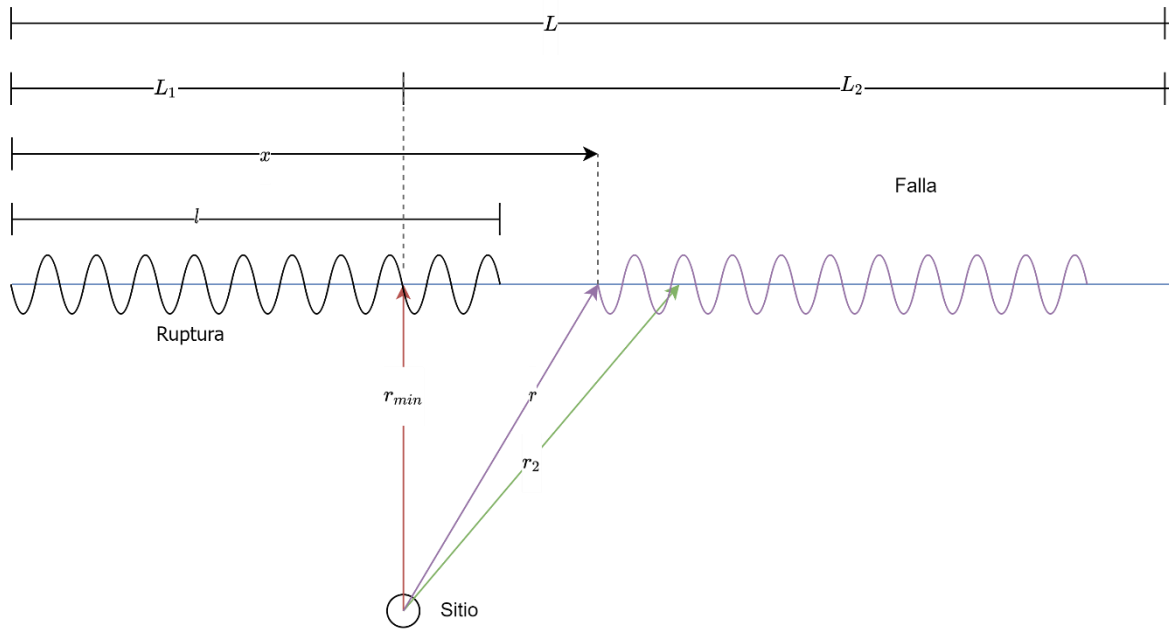


Figura 11 Subcaso 2 donde el largo de la ruptura supera a L1:

Subcaso 2.1

$$0 \leq x \leq L_1$$

$$r = r_{min}$$

$$f_{\mathbb{R}} r = \int_0^{L_1} f_{\mathbb{X}} x \, dx = \frac{L_1}{L-\ell}$$

Subcaso 2.2

$$L_1 \leq x \leq L_2 - \ell$$

$$r_{min} \leq r \leq r_2$$

$$r^2 = r_{min}^2 + (x - L_1)^2 \Rightarrow x = L_1 + \sqrt{r^2 - r_{min}^2}$$

$$f_{\mathbb{R}} r = \left| \frac{dx}{dr} \right| f_{\mathbb{X}} x = \left| \frac{2r}{2\sqrt{r^2 - r_{min}^2}} \right| \frac{1}{L-\ell} = \frac{r}{L-\ell \sqrt{r^2 - r_{min}^2}}$$

Finalmente, juntando todos los subcasos 2:

$$f_{\mathbb{R}} r = \begin{cases} \frac{L-1}{L-\ell} & r = r_{min} \quad 2.1 \\ \frac{r}{L-\ell \sqrt{r^2 - r_{min}^2}} & r_{min} \leq r \leq r_2 \quad 2.2 \end{cases}$$

Subcaso 3:

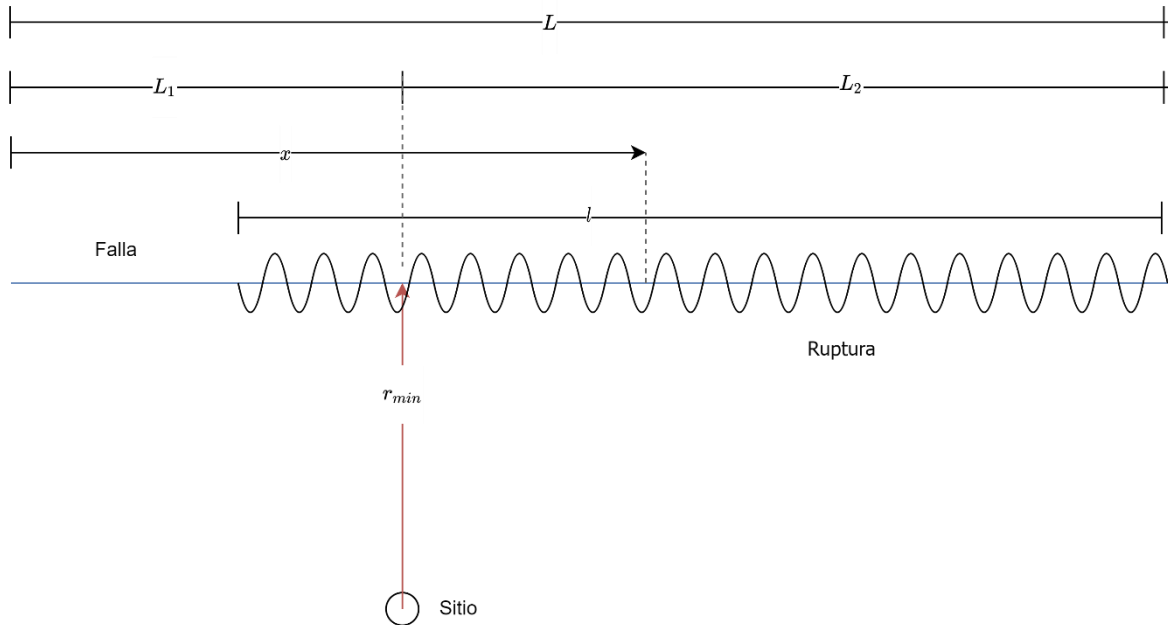


Figura 12: Subcaso 3, donde el largo de la ruptura supera a L2

$$f_{\mathbb{R}} r = \begin{cases} 0 & r \neq r_{min} \\ 1 & r = r_{min} \end{cases}$$

3.2 Parte (b)

Para determinar la Magnitud máxima posible en la falla, se debe considerar una ruptura lo más grande posible, del tamaño de la falla.

$$\ell = L = 96.7[km]$$

Reemplazando este valor de longitud de la ruptura en la falla en la ecuación para falla tipo *Strike-Slip* de la tabla 4.1 del libro de Kramer.

$$M_w = 5.16 + 1.12 \log(\ell)$$

$$M_{w.max} = 7.38$$

3.3 Parte (c)

Se pide determinar los largos de ruptura promedio asociados a 0.95, 0.85, 0.80 y 0.7 del Momento máximo posible.

Tabla 4: Momentos máximos posibles

$\%M_{wmax}$	
0.95M.max	7.01
0.85M.max	6.28
0.8M.max	5.91
0.7M.max	5.17

Luego los largos de ruptura promedio que generan las magnitudes presentadas anteriormente:

Tabla 5: Largos de ruptura promedio asociados a los momentos máximos posibles.

Largos de ruptura (ℓ) [km]	
$\ell(0.95M. max)$	43.72
$\ell(0.85M. max)$	12.43
$\ell(0.8M. max)$	6.62
$\ell(0.7M. max)$	1.88

3.4 Parte (d)

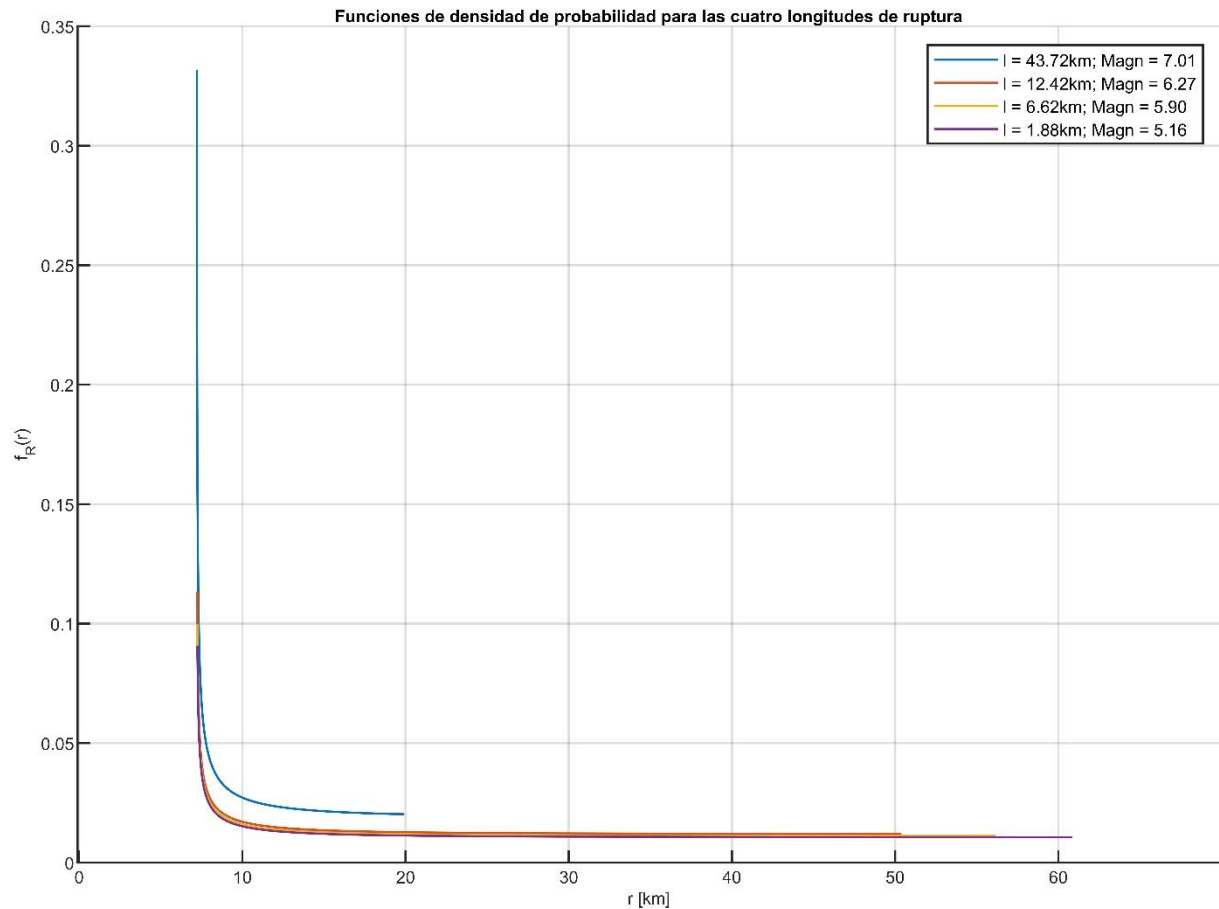


Figura 13: Funciones de densidad de probabilidad para las cuatro longitudes de ruptura.

3.5 Parte (e)

Se requiere realizar un histograma de las distancias de ruptura para un sismo de magnitud igual

Se requiere para el caso con el largo de ruptura asociado al 70% de M_{max} aproximar numéricamente $f_R(r)$ utilizando histogramas de acuerdo con el método visto en clases. Se solicita aproximar $f_R(r)$ utilizando 3 discretizaciones distintas para la falla: $\Delta x = 0.1\text{km}; 1\text{km}; 2\text{km}$, y 3 agrupaciones distintas de la distancia para categorizar los casilleros del histograma $\Delta R = 1\text{km}; 2.5\text{km}; 5\text{km}$.

A continuación, se presentan los histogramas normalizados para cada amplitud de intervalo de distancias, en conjunto con la curva de PDF obtenida en la sección D:

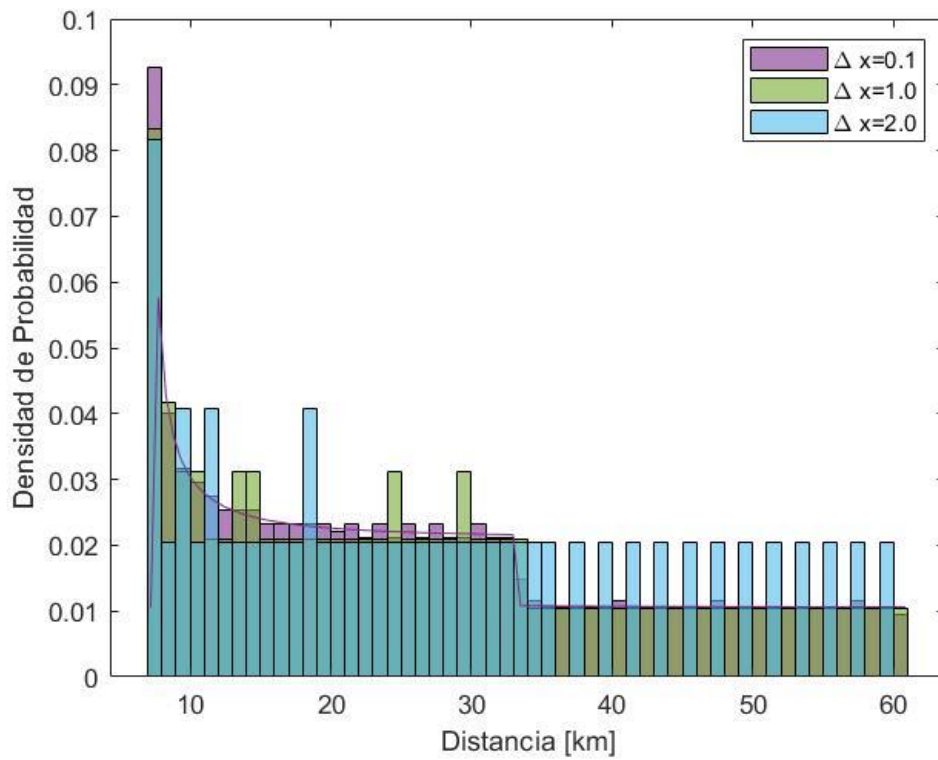


Figura 14: Histogramas para un Delta R de 1 km.

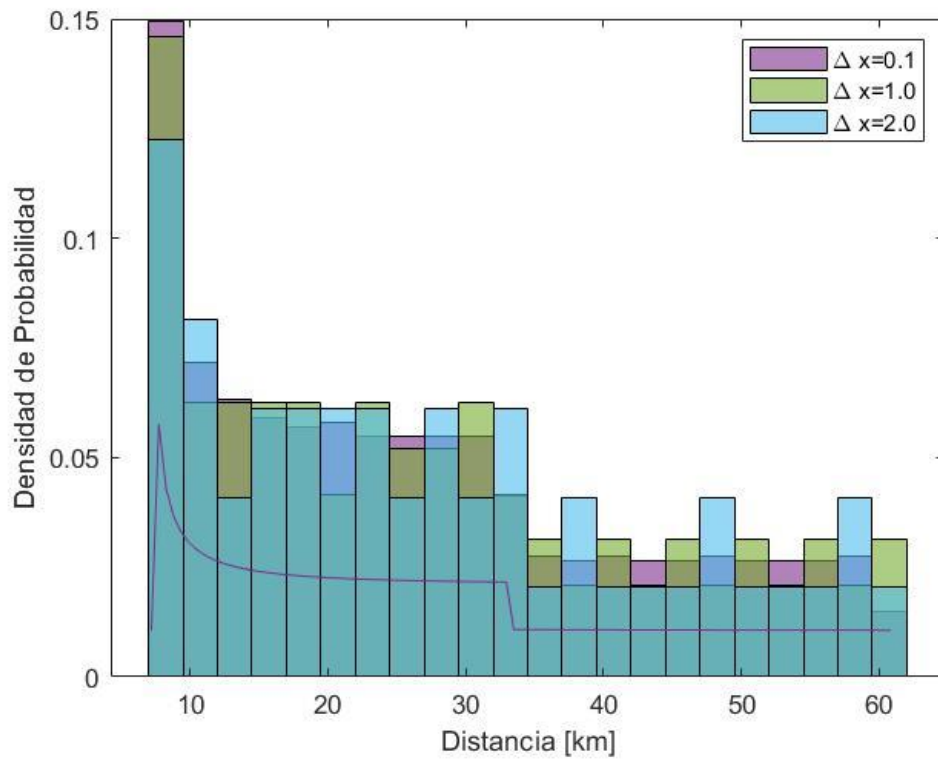


Figura 15: Histogramas para un Delta R de 2.5 km

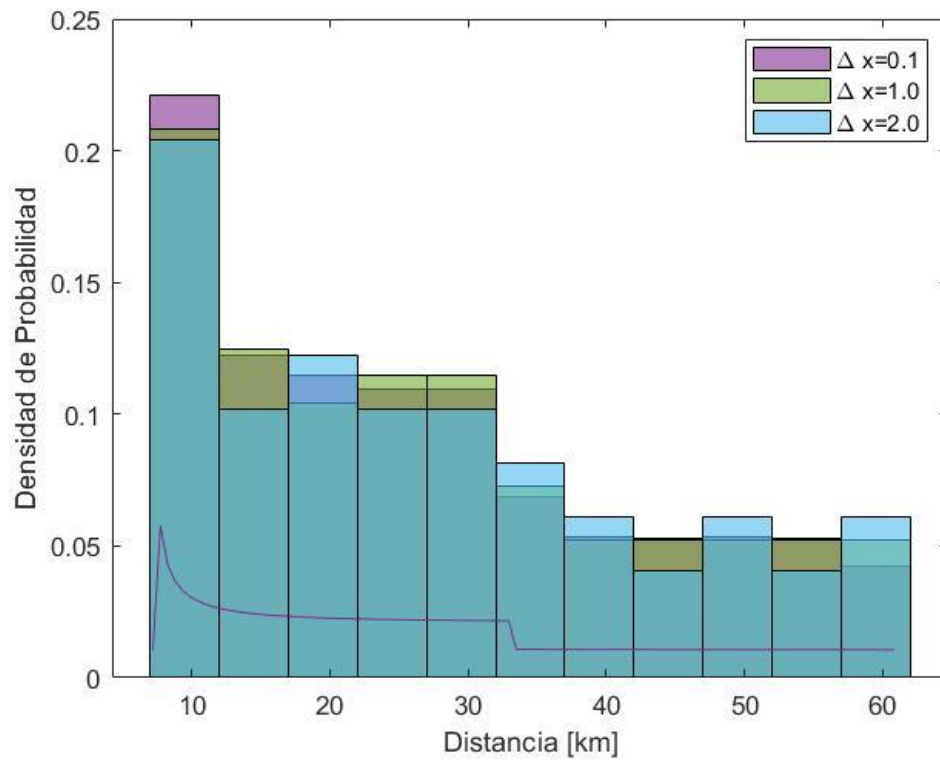


Figura 16: Histogramas para un Delta R de 5 km

Al comparar los gráficos anteriores, se puede observar un aumento en la precisión a menores intervalos de distancias tanto para R como de x , eso se representa en la cercanía del primer grafico (Figura 14) con la curva de la función PDF.



4. Anexos

Publish de MATLAB

Contents

- [Inicializar](#)
- [P1](#)
- [P1.1](#)
- [P1.2](#)
- [P1.3](#)
- [P2](#)
- [P3](#)
- [P3.a](#)
- [P3.b](#)
- [P3.c](#)
- [P3.d](#)
- [P3.e](#)

Inicializar

```
clear variables  
close all  
clc
```

P1

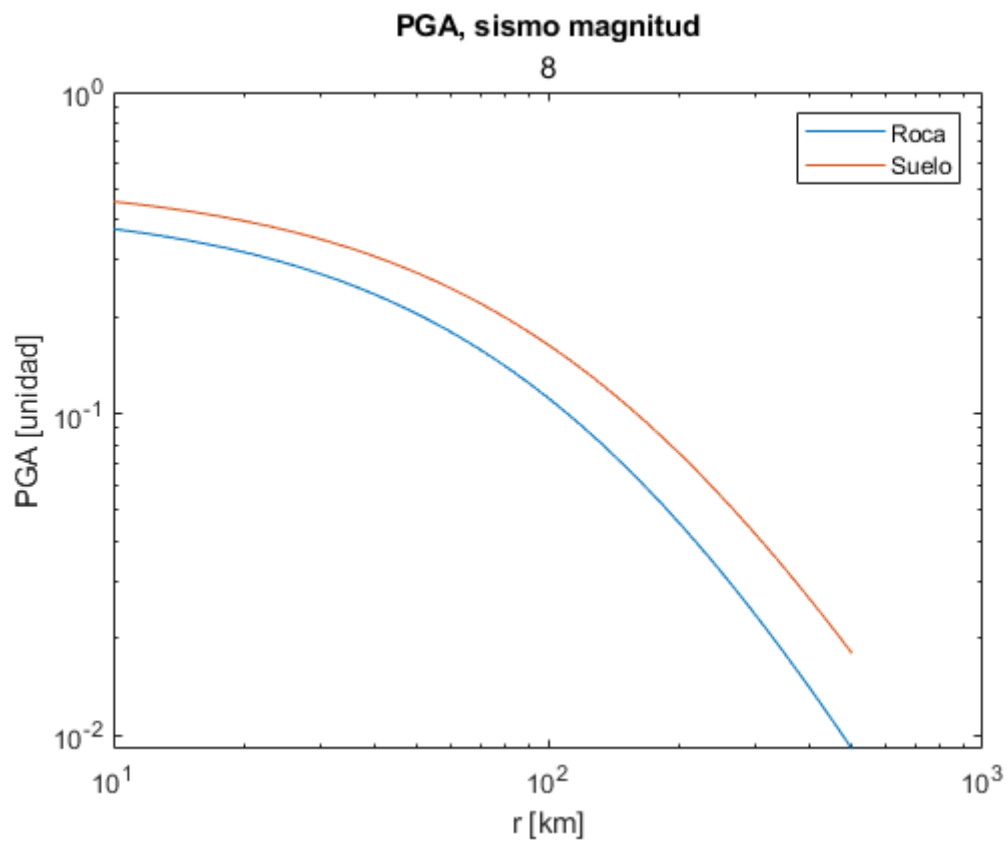
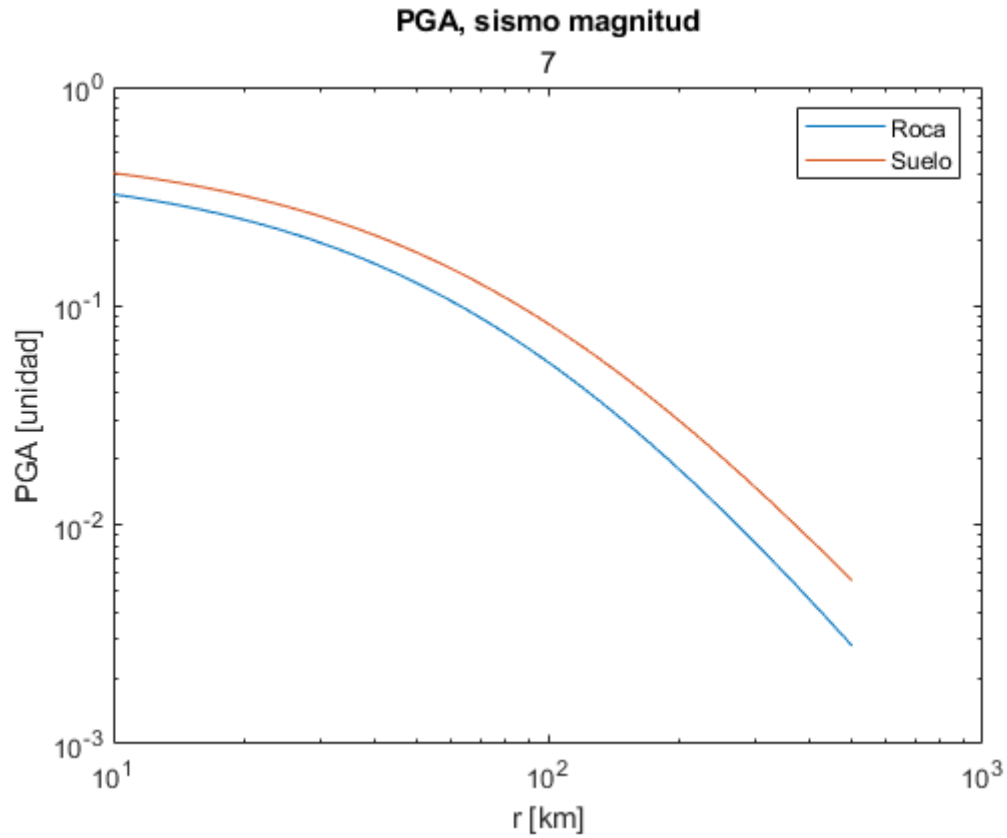
P1.1

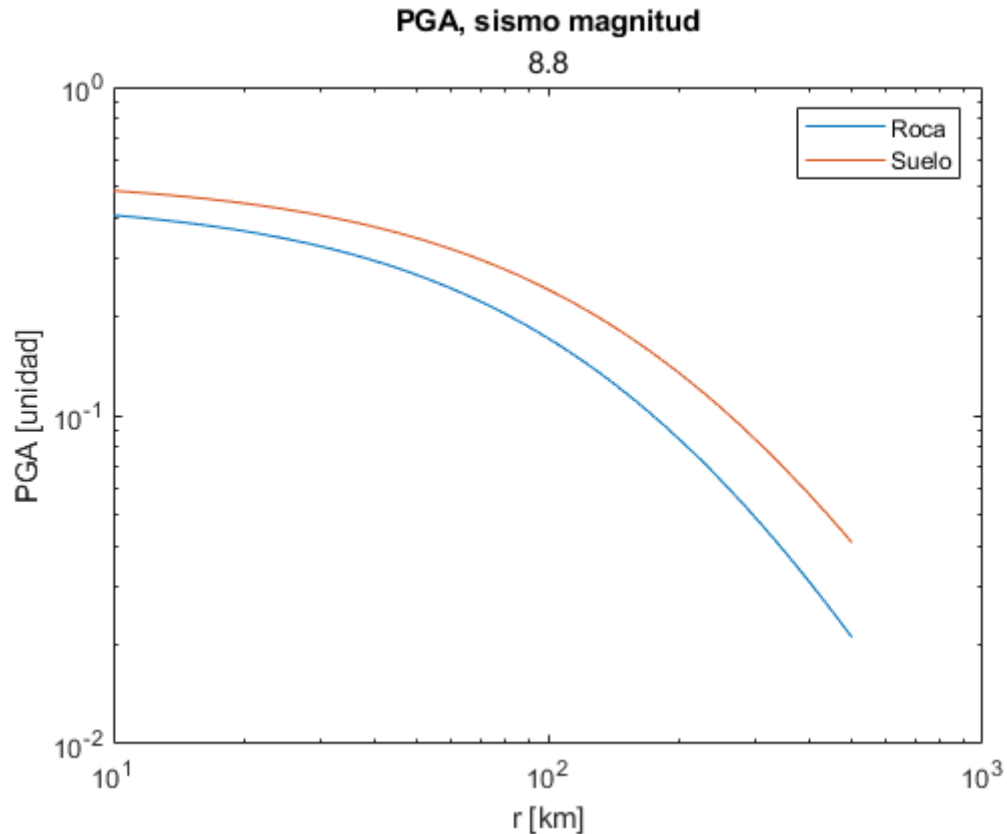
Graficar PGA promedio esperado para un terremoto tipo interplaca vs la distancia r , con las condiciones $H = 37$ km; $r = 10:1:500$; $M_w = [7.0; 8.0; 8.8]$ Comparar resultados

```
C1_rock = 0.00;  
  
C2_rock = 0.00;  
  
C3_rock = -2.552;  
  
C4_rock = 1.45; % * Standard deviation for magnitud greater than 8 is equal to the value for magnitud equal to 8  
C5_rock = -0.1; % *  
  
% Para suelo (soil)  
C1_soil = 0.00;  
C2_soil = 0.00;  
C3_soil = -2.329;  
C4_soil = 1.45;  
C5_soil = -0.1;  
  
Zt_var = 0;  
H_var = 37;  
Mw_vector = [7.0; 8.0; 8.8];  
r = (10:1:500).';  
  
for Mw = 1:3  
    Mw_var = Mw_vector(Mw,1);  
    for r_var = 1:length(r)  
        puntos_rock(r_var,Mw) = exp(0.2418 + 1.414*Mw_var + C1_rock + C2_rock*(10-Mw_var)^3 +  
C3_rock*log(r_var,1) + 1.7818*exp(0.544*Mw_var)) + 0.00607*H_var + 0.3846*Zt_var);  
        puntos_soil(r_var,Mw) = exp(-0.6687 + 1.438*Mw_var + C1_soil + C2_soil*(10-Mw_var)^3 +  
C3_soil*log(r_var,1) + 1.097*exp(0.617*Mw_var)) + 0.00648*H_var + 0.3643*Zt_var);  
    end  
    % fprintf('Mw %f Roca \n',Mw_var)
```



```
figure
loglog(r,puntos_rock(:,Mw))
hold on
loglog(r,puntos_soil(:,Mw))
xlabel('r [km]')
ylabel('PGA [unidad]')
title('PGA, sismo magnitud', Mw_var)
legend('Roca','Suelo')
hold off
% fprintf('Mw %f Suelo \n',Mw_var)
% figure
% loglog(r,puntos_soil(:,Mw))
% xlabel('r [km]')
% ylabel('PGA suelo[unidad]')
% title('PGA para suelo, sismo magnitud', Mw_var)
end
```





P1.2

Para un periodo de $T_n = 2.0[\text{sec}]$ y un amortiguamiento de $\xi = 0.05$

```
% Para roca
C1_rock = -3.328;
C2_rock = -0.0080;
C3_rock = -2.1070;
C4_rock = 1.55;
C5_rock = -0.1;

% Para suelo
C1_soil = -6.433;
C2_soil = -0.0164;
C3_soil = -1.290;
C4_soil = 1.55;
C5_soil = -0.1;

for Mw = 1:3
    Mw_var = Mw_vector(Mw,1);
    for r_var = 1:length(r)
        puntos_rock(r_var,Mw) = exp(0.2418 + 1.414*Mw_var + C1_rock + C2_rock*(10-Mw_var)^3 +
C3_rock*log(r(r_var,1) + 1.7818*exp(0.544*Mw_var)) + 0.00607*H_var + 0.3846*Zt_var);
        puntos_soil(r_var,Mw) = exp(-0.6687 + 1.438*Mw_var + C1_soil + C2_soil*(10-Mw_var)^3 +
C3_soil*log(r(r_var,1) + 1.097*exp(0.617*Mw_var)) + 0.00648*H_var + 0.3643*Zt_var);
    end
    fprintf('Mw %f Roca \n',Mw_var)

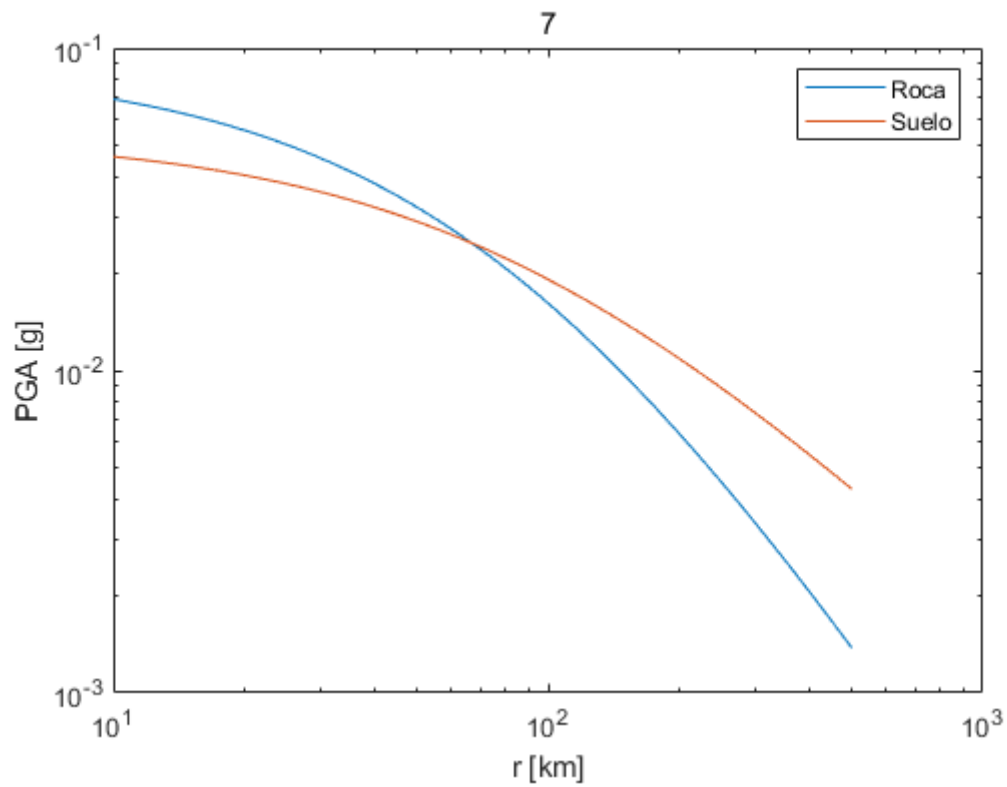
figure
loglog(r,puntos_rock(:,Mw))
hold on
loglog(r,puntos_soil(:,Mw))
xlabel('r [km]')
ylabel('PGA [g]')
```



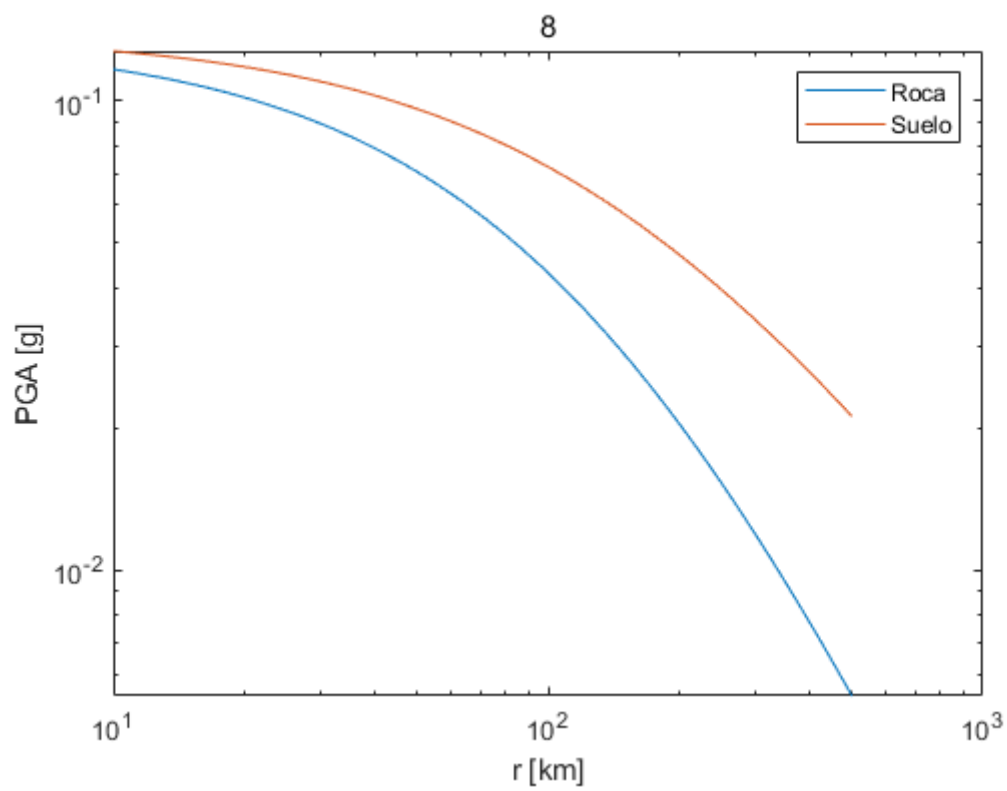
```
title('PGA con T_n = 2, sismo magnitud', Mw_var)
legend('Roca','Suelo')
hold off

% fprintf('Mw %f Suelo \n',Mw_var)
% figure
% loglog(r,puntos_soil(:,Mw))
% xlabel('r [km]')
% ylabel('PGA suelo[unidad]')
% title('PGA para suelo, sismo magnitud', Mw_var)
end
```

PGA con $T_n = 2$, sismo magnitud

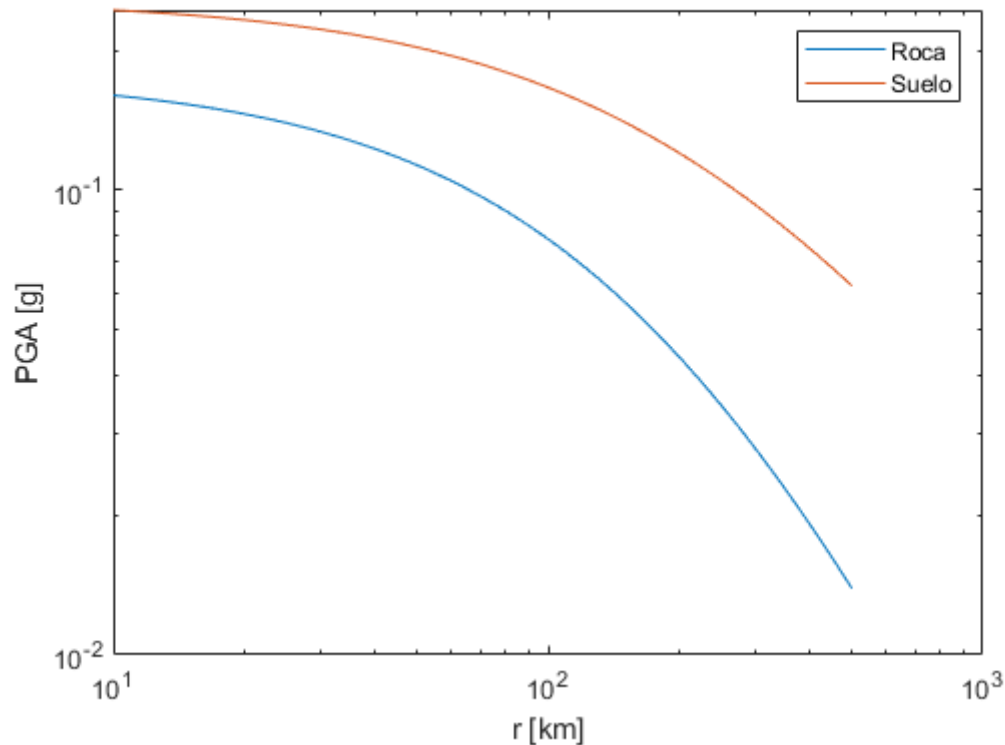


PGA con $T_n = 2$, sismo magnitud



PGA con $T_n = 2$, sismo magnitud

8.8



P1.3

```
disp('P1.3')
```

```
Mw_var = 8.8;  
r_var = 20; %km
```

```
% Para roca (rock)
```

```
C1_rock = 0.00;  
C2_rock = 0.00;  
C3_rock = -2.552;  
C4_rock = 1.45; % * Standard deviation for magnitud greater than 8 is equal to the value for magnitud equal to 8  
C5_rock = -0.1; % *
```

```
% Para suelo (soil)
```

```
C1_soil = 0.00;  
C2_soil = 0.00;  
C3_soil = -2.329;  
C4_soil = 1.45;  
C5_soil = -0.1;
```

```
Zt_var = 0;
```

```
lny_rock = (0.2418 + 1.414*Mw_var + C1_rock + C2_rock*(10-Mw_var)^3 + C3_rock*log(r_var +  
1.7818*exp(0.544*Mw_var)) + 0.00607*H_var + 0.3846*Zt_var);  
lny_soil = (-0.6687+1.438*Mw_var + C1_soil + C2_soil*(10-Mw_var)^3 + C3_soil*log(r_var +  
1.097*exp(0.617*Mw_var))+0.00648*H_var + 0.3643*Zt_var);
```

```
disp('Para sitios en roca')
```

```
fprintf('ln(y)= %f \n', lny_rock)
```

```
disp('Para sitios en suelo')
```

```
fprintf('ln(y)= %f \n', lny_soil)
```

```
sigma_rock = C4_rock + C5_rock*8.0; %desv. estandar para mag. mayores a 8, es equiv. a de la mag. 8.  
sigma_soil = C4_soil + C5_soil*8.0;
```



```
fprintf('sigma_rock = %f \n', sigma_rock)
fprintf('sigma_soil = %f \n', sigma_soil)

PGA_rock = logninv(0.95,lny_rock,sigma_rock);
PGA_soil = logninv(0.95,lny_soil,sigma_soil);

fprintf('PGA_rock = %f \n',PGA_rock)
fprintf('PGA_soil = %f \n',PGA_soil)
```

P1.3

Para sitios en roca

$\ln(y) = -1.009701$

Para sitios en suelo

$\ln(y) = -1.030598$

$\sigma_{rock} = 0.650000$

$\sigma_{soil} = 0.650000$

$PGA_{rock} = 1.061257$

$PGA_{soil} = 1.039310$

P2

Está en Excel completa

P3

P3.a

Definir $f_{RM}(r)$

```
r_min = 7.2; % km
L1 = 34.4; % km
L2 = 62.3; % km
L = 96.7; % km

% Definir fRM(r)
% La vamos a definir en función de 'l' para que quede con los subcasos
syms r l
% fRM(r,l) = piecewise( ...
%   and(l<L1,L1<L2),piecewise(r == r_min,l/(L-l),and(r<r1,r>r_min),2*(L1-l)/(L-l),and(r<r2,r>r1),(L-2*L1)/(L-l)), ...
%   and(L1<l,L<L2),piecewise(r==r_min,L1/(L-l),and(r2>r,r>r_min),(L2-l)/(L-l)), ...
%   and(l>L2,L2>L1),1);

% % l<L1,L1<L2
% r11 = (r_min^2+(L1-l)^2)^0.5;
% r12 = (r_min^2+(L2-l)^2)^0.5;
% fRM1 = piecewise(r == r_min,l/(L-l),and(r<=r11,r>r_min),r/((L-l)*sqrt(r^2-r_min^2)),and(r<=r12,r>r11),r/((L-l)*sqrt(r^2-r_min^2)));
% % L1<l<L2
% r22 = (r_min^2+(L2-l)^2)^0.5;
% fRM2= piecewise(r==r_min,L1/(L-l),and(r22>=r,r>=r_min),r/((L-l)*sqrt(r^2-r_min^2)));
% % L1<L2<l
```

```
% fRM3 = piecewise(r==r_min,1,~(r==r_min),0);
```

P3.b

En Excel

```
Mmax = 7.38;  
% producir
```

% Magnitud de momento máxima (con L = 96.7) que la falla es capaz de

P3.c

En Excel

```
L_vals = [43.72; 12.43; 6.62; 1.882]; %km  
% magn = [0.95*Mmax; 0.85*Mmax; 0.8*Mmax; 0.7*Mmax];
```

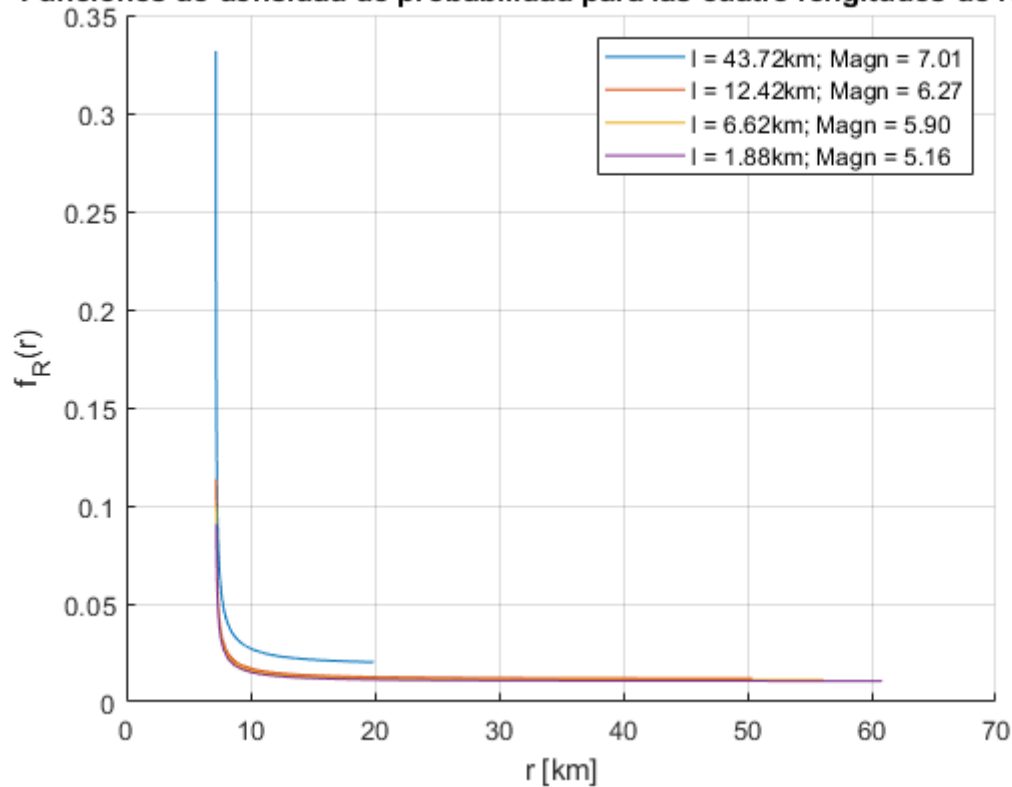
P3.d

```
for i = 1:length(L_vals)
    l = L_vals(i,1);
    l_val = l;
    if and(l_val<=L1,l_val<=L2)
        r1(i,1) = (r_min^2+(L1-l)^2)^0.5;
        r11 = r1(i,1);
        r2(i,1) = (r_min^2+(L2-l)^2)^0.5;
        r12 = r2(i,1);
        fRr(i,1) = piecewise(r == r_min,l/(L-l),and(r<=r11,r>r_min),r/((L-l)*sqrt(r^2-r_min^2)),and(r<=r12,r>r11),r/((L-l)*sqrt(r^2-r_min^2)));
    elseif and(l_val>L1, l_val<L2)
        r2(i,1) = (r_min^2+(L2-l)^2)^0.5;
        r22 = r2(i,1);
        fRr(i,1) = piecewise(r==r_min,L1/(L-l),and(r22>=r,r>=r_min),r/((L-l)*sqrt(r^2-r_min^2)));
    elseif l_val>=L2
        fRr(i,1) = piecewise(r==r_min,1,~(r==r_min),0);
    end
end

clear l_val r11 r12 r22

figure
hold on
grid on
for i = 1:length(L_vals)
    fplot(fRr(i,1),[r_min r2(i,1)])
end
xlabel('r [km]')
ylabel('f_{R}(r)')
title('Funciones de densidad de probabilidad para las cuatro longitudes de ruptura')
legend('l = 43.72km; Magn = 7.01','l = 12.42km; Magn = 6.27','l = 6.62km; Magn = 5.90','l = 1.88km; Magn = 5.16')
```

Funciones de densidad de probabilidad para las cuatro longitudes de ruptura



P3.e

```
% Para el caso de ruptura asociado a 0.7Mmax => l = 1.882km
% Aproximar fR(r) numéricamente utilizando histogramas

% 1. Dividir la falla en segmentos de longitud dx
Dx = [0.1; 1; 2]; %km
% Para cada división, calcular la distancia ri asociada

% pos_x = zeros(L/min(Dx),L/min(Dx));
x_0 = 0;

for i = 1:length(Dx)
    for j = 1:L/Dx(i,1)
        pos_x(j,i) = x_0 + Dx(i,1)*j;
    end % Columna 1 contiene posición x cada 0.1, columna 2 cada 1km, columna 3 cada 2km
end
% Determinamos ri para cada segmento
for i = 1:length(Dx)
    for j = 1:length(pos_x(:,i))
        if pos_x(j,i) < L1
            ri(j,i) = sqrt((L1 - pos_x(j,i))^2 + r_min^2);
        end
        if pos_x(j,i) > L1
            ri(j,i) = sqrt((pos_x(j,i) - L1)^2 + r_min^2);
        end
    end
end
end

% Determinamos cantidad de veces que se repite un ri dentro del rango R

DR = [1;2.5;5]; % km
r2max = (r_min^2 + L2^2)^0.5;
R_0 = r_min;
```

```

for i = 1:length(DR)
    for j = 1:round(r2max/DR(i,1))
        R_range(j,i) = R_0 + DR(i,1)*(j-1);
        %Creo un rango de R+DR.... R+DR...
        if i == 1
            R_range1(j,1) = R_0 + DR(i,1)*(j-1);
        elseif i == 2
            R_range2(j,1) = R_0 + DR(i,1)*(j-1);
        elseif i == 3
            R_range3(j,1) = R_0 + DR(i,1)*(j-1);
        end
    end
end
end

% disp('Se muestra R_range')
% disp(R_range)

R_freq = zeros(length(R_range),length(Dx));
zeros(Rango_R1,Rango_R2,Rango_R3), pero nos quedamos con el mayor
% Inicializo matriz de
frecs1 = zeros(length(R_range1),length(Dx));
frecs2 = zeros(length(R_range2),length(Dx));
frecs3 = zeros(length(R_range3),length(Dx));
for i = 1:length(DR)
    % Para cada Dx, justo calza también con para cada DR
    for j = 1:length(Dx)
        % Para cada Rango_R, no pasa nada si partimos de
        % Para cada largo del Dx asociado
        for k = 1:length(R_range(:,i))-1
            for t = 1:length(ri(:,j))
                if i == 1
                    if and(ri(t,j) > R_range(k,i), ri(t,j) < R_range(k+1,i))
                        frecs1(k,j) = frecs1(k,j) + 1;
                    end
                elseif i == 2
                    if and(ri(t,j) > R_range(k,i), ri(t,j) < R_range(k+1,i))
                        frecs2(k,j) = frecs2(k,j) + 1;
                    end
                elseif i == 3
                    if and(ri(t,j) > R_range(k,i), ri(t,j) < R_range(k+1,i))
                        frecs3(k,j) = frecs3(k,j) + 1;
                    end
                end
            end
        end
    end
end
end
end
end
end

% Graficamos
for i = 1:length(DR)
    for j = 1:length(Dx)
        if i == 1
            for k = 1:length(frecs1(:,j))
                if ~(frecs1(k,j) == 0)
                    if j == 1
                        frecs11_new(k,1) = frecs1(k,j);
                    elseif j == 2
                        frecs12_new(k,1) = frecs1(k,j);
                    elseif j == 3
                        frecs13_new(k,1) = frecs1(k,j);
                    end
                end
            end
        elseif i == 2
            for k = 1:length(frecs2(:,j))
                if ~(frecs2(k,j) == 0)
                    if j == 1
                        frecs21_new(k,1) = frecs2(k,j);
                    elseif j == 2
                        frecs22_new(k,1) = frecs2(k,j);
                    elseif j == 3

```

```

        frecs23_new(k,1) = frecs2(k,j);
    end
end
end

elseif i == 3
    for k = 1:length(frecs3(:,j))
        if ~(frecs3(k,j) == 0)
            if j == 1
                frecs31_new(k,1) = frecs3(k,j);
            elseif j == 2
                frecs32_new(k,1) = frecs3(k,j);
            elseif j == 3
                frecs33_new(k,1) = frecs3(k,j);
            end
        end
    end
end
end
end
end

figure
myhist11 = histogram(frecs11_new.',R_range1);
hold on
myhist12 = histogram(frecs12_new.',R_range2);
myhist13 = histogram(frecs13_new.',R_range3);
myhist11.Normalization = 'pdf';
myhist12.Normalization = 'pdf';
myhist13.Normalization = 'pdf';
xlabel('r')
ylabel('f_R(r)')
legend('Dx = 0.1', 'Dx = 1', 'Dx = 2')
hold off

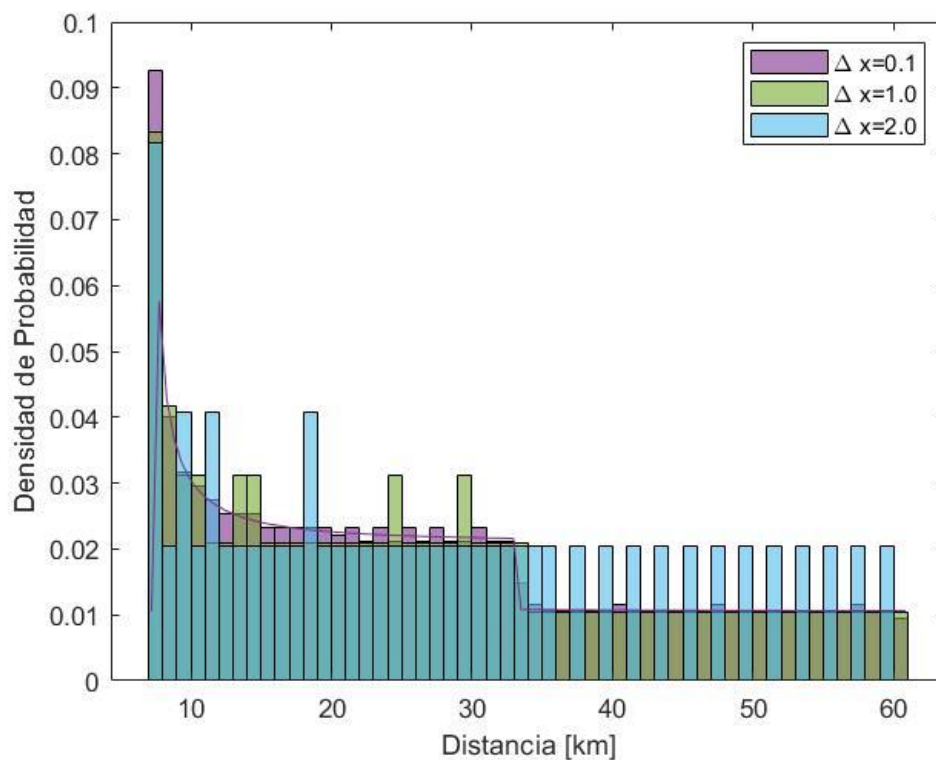
figure
myhist21 = histogram(frecs21_new.',R_range1);
hold on
myhist22 = histogram(frecs22_new.',R_range2);
myhist23 = histogram(frecs23_new.',R_range3);
myhist21.Normalization = 'pdf';
myhist22.Normalization = 'pdf';
myhist23.Normalization = 'pdf';
xlabel('r')
ylabel('f_R(r)')
legend('Dx = 0.1', 'Dx = 1', 'Dx = 2')
hold off

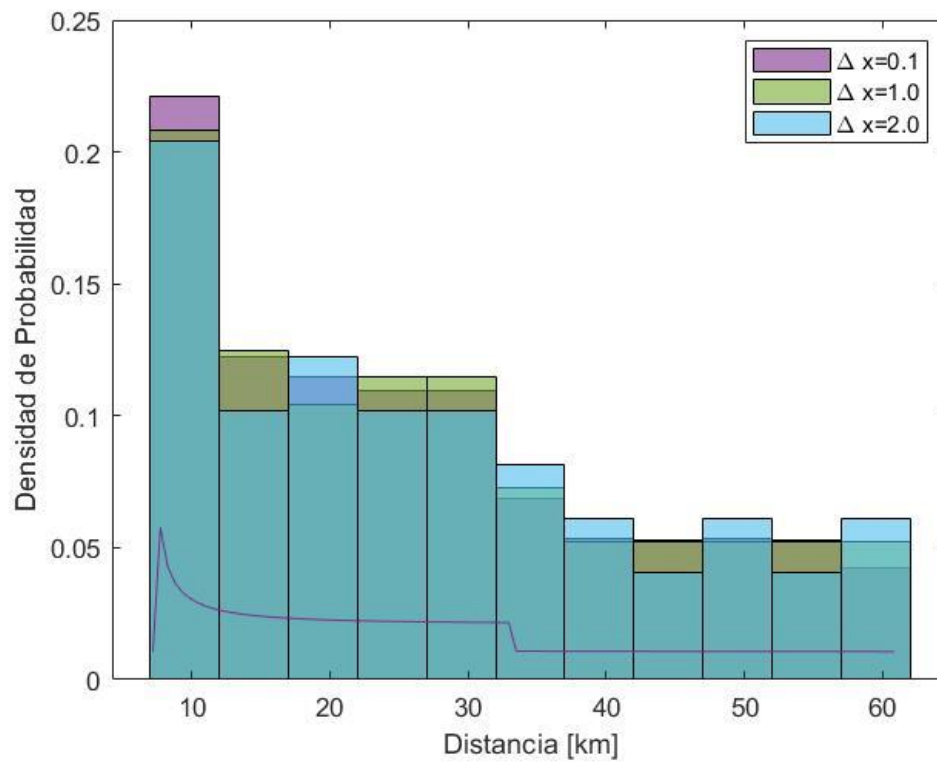
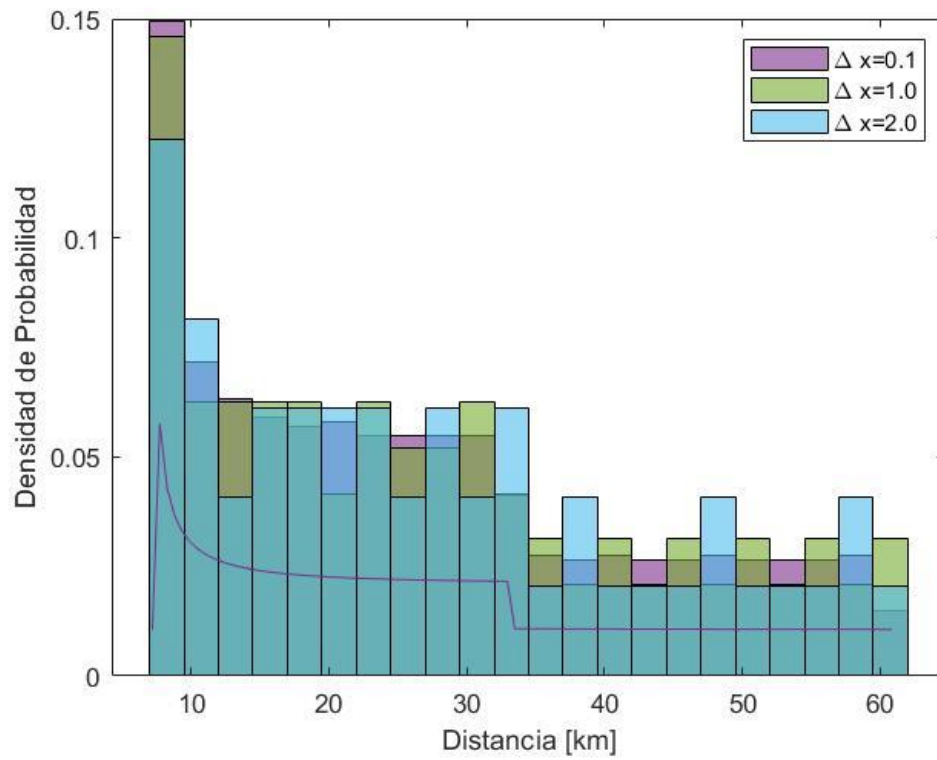
figure
myhist31 = histogram(frecs31_new.',R_range1);
hold on
myhist32 = histogram(frecs32_new.',R_range2);
myhist33 = histogram(frecs33_new.',R_range3);
myhist31.Normalization = 'pdf';
myhist32.Normalization = 'pdf';
myhist33.Normalization = 'pdf';
xlabel('r')
ylabel('f_R(r)')
legend('Dx = 0.1', 'Dx = 1', 'Dx = 2')
hold off

% for i = 1:length(Dx)
%     for j = 1:length(R_range(:,i))
%         if ~(R_range(j,i) == 0)
%             if i == 1
%                 R_range_new1(j,1) = R_range(j,i);
%             elseif i == 2

```

```
%
    R_range_new2(j,1) = R_range(j,i);
%
    elseif i == 3
        R_range_new3(j,1) = R_range(j,i);
%
    end
%
end
%
if ~(R_frec(j,i) == 0)
%
    if i == 1
        R_frec_new1(j,1) = R_frec(j,i);
%
    elseif i == 2
        R_frec_new2(j,1) = R_frec(j,i);
%
    elseif i == 3
        R_frec_new3(j,1) = R_frec(j,i);
%
    end
%
end
%
end
%
figure
%
hold on
%
grid on
%
hist1 = histogram(R_frec_new1.',R_range_new1)
%
hist2 = histogram(R_frec_new2.',R_range_new2)
%
hist3 = histogram(R_frec_new3.',R_range_new3)
%
hist1.Normalization = 'pdf';
%
hist2.Normalization = 'pdf';
%
hist3.Normalization = 'pdf';
%
xlabel('r [km]')
%
ylabel('f_{R}(r)')
%
hold off
%
end
%
%
%table(R_range,R_frec)
```





Published with MATLAB® R2021b